

佐賀大学 理工学部 正員 ○鬼塚 克忠

1. はじめに 著者は締固めた土の工学的特性が含水量(飽和度)によってどのように変化するかという基礎的な研究を続けてきた。今回はその一環として含水量を変えた締固め土の一軸圧縮試験と圧密試験を行ない、特に応力とヒズミ(変形)に注目して報告する。

2. 実験方法 まず一軸圧縮試験では表-1に示す5種類の試料を用いて種々の間隙比と含水比となるような供試体(直径3.50, 高さ7.00cm)を締固めて作った。この供試体を0.9%/minのヒズミ速度で圧縮した。次に圧密装置を用いて2種類の実験を行なった。一つは一般に行なわれている圧密試験と同じ載荷方法で、載荷荷重を0.125kg/cm²から段階的に2倍ずつ増して8kg/cm²に至らしめる。試料は白色ライト貢粘性土である。二つ目は繰返し荷重の影響をしらべるために、図-6に示しているように所定の載荷荷重で60分間載荷、30分間除荷の2サイクルの繰返し荷重をかけた。試料は金山マサ土である。

3. 一軸圧縮試験における応力とヒズミ 一軸圧縮供試体の含水比と破壊ヒズミの関係の一例を図-1に示すが、すべての試料について明瞭に右上がりのカーブが得られる。含水比が低いと応力・ヒズミ曲線の立ち上がりは急勾配となり破壊ヒズミは小さくなるが逆に含水比が高くなると曲線はだらかなる形状を示し破壊ヒズミは増大しその値は不明にする。これらは先に報告した Lambe の粘性土における土の構造の考え方で説明がつけられる。ところで図面

試料名	金山マサ土	城野原マサ土	白色ライト貢粘性土	開白カオリン	香椎赤土
比重	2.630	2.643	2.698	2.690	2.722
$W_L(\%)$	36	39	40	53	75
$W_P(\%)$	31	31	26	26	32
$I_p(\%)$	5	8	14	27	43
粒度 (%)	レキ 石灰 シルト 粘土	8.1 63.1 21.3 7.5	13.9 54.4 22.2 9.5	0 0 41.0 59.0	0 0 8.0 9.20
純一分類法による分類	SM	SM	ML	CH	CH
実測め試験	W_{opt} JIS A1210 呼び名 L1	15.0 1.780 0.478	15.8 1.730 0.528	25.0 1.525 0.767	31.0 1.420 0.90
	e_{min}	0.528	0.767	0.90	0.960

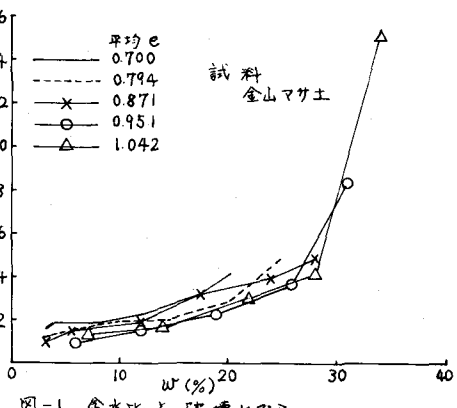
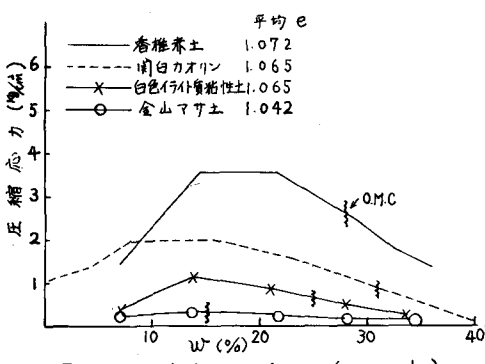
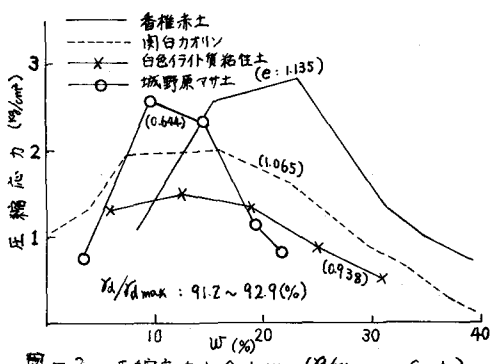


図-1 含水比と破壊ヒズミ

図-2 圧縮応力と含水比 (e : const.)図-3 圧縮応力と含水比 ($\sigma/\sigma_{d,max} : \text{const.}$)

は省略したが興味ある問題として、供試体の間ゲキ比と ϵ 、三軸試験における含水比と ϵ などがあるが当曰報告する。

図-2、図-3に圧縮応力と含水比の関係を示す。前者は同一間ゲキ比、後者は同一締固め度に対してプロットしたものである。図-2で最も小さな圧縮応力を示すマサ土は図-3で他の試料と変わらぬ強度を有するが塑性領域が小さく水に弱い一面を物語っている。塑性指数の大きい土が一般に強度も大きいようである。

4. 圧縮試験　段階的に連続載荷した時の各荷重と沈下量をあらわすと図-4のとおりである。一般に、飽和土のクリーフ試験で変形量と時間の対数は直線関係にあることが知られている。圧縮試験の場合（小さい荷重から段階的に連続載荷）は飽和度(Sr)が90%以下の供試体は直線的関係を示すが、Srがそれ以上になると大きな荷重では直線とはならず、ほぼ1ヘルツで折線となる。繰返し荷重による場合は図-6でもわかるように、Srが高くなると間ゲキ比が大きいと1回目の荷重では折線が明瞭にあらわれる。2回目の載荷では直線に近くなる。この折線の初期の部分は間ゲキ水と間ゲキ空気の排出による圧密・骨格の収縮であり、後半の部分は2次圧密（フリーフ）と考えられる。連続載荷による変形と時間の関係をすべて直線と仮定して $S = a + b \log_{10} t$ ($a, S : \frac{mm}{min}$, $b : \frac{1}{min}$, $t : min.$) であらわせば a, b は図-5のようになる。 a, b ともに $Sr > 80\%$ で急増する。既に報告した間ゲキ空気圧と飽和度の関係でも $Sr > 70\%$ で空気圧は急激に増加を示している。このことは締固め土の強度と変形を論ずるとき、 $Sr = 80\sim 90\%$ が key point となることを示すようだ。飽和土のクリープ試験では b が載荷荷重に比例して増すことが報告されているが、図-5においてはそれに近い傾向が得られた。除荷曲線はすべて直線でかつ平行である。末筆ながら九大工学部の内田、松本両先生に深く感謝致します。

参考文献　内田他4名「締固めた不飽和粘性土のヤンゲン特性について」土と基礎 Vol.17, 1969.
村山、柴田「粘土のレオロジー的性質について」土木学会論文集 第40号 春季. 32.

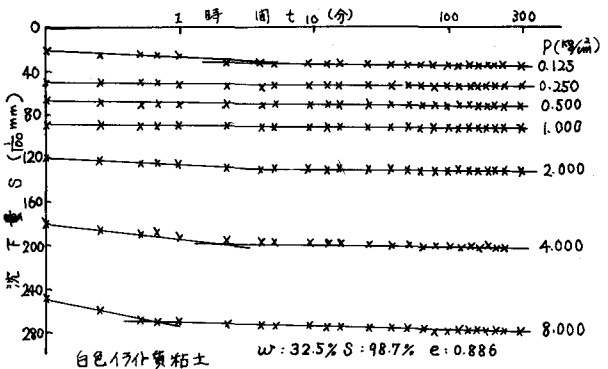


図-4 沈下量・時間曲線

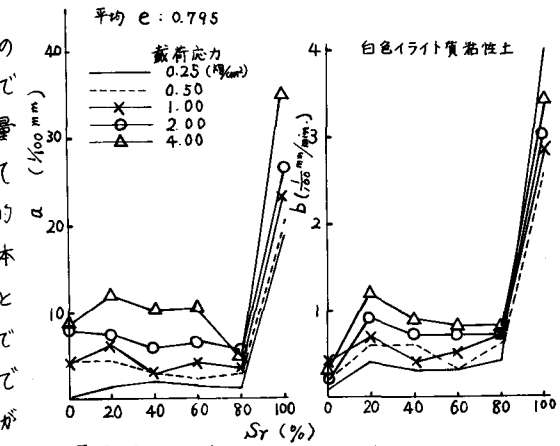


図-5 $S = a + b \log_{10} t$ の a, b

